

Оценка Европейского опциона методом Монте-Карло

Александров Андрей Владимирович, 522-я группа

Санкт-Петербургский Государственный Университет
Математико-механический факультет
Кафедра статистического моделирования

Научный руководитель — д.ф.-м.н., профессор **С.М.Ермаков**
Рецензент — к.ф.-м.н., доцент **Ю.Н.Каштанов**



Санкт-Петербург
2011 г.

Определение 1

Опцион — договор, по которому потенциальный покупатель или потенциальный продавец получает право, но не обязательство, совершить покупку или продажу актива (товара, ценной бумаги, и т.д.) по заранее оговоренной цене в определённый договором момент в будущем или на протяжении определённого отрезка времени.

Определение 2

Опцион "колл" (*option call*)- опцион, который даёт право своему владельцу **купить** определённое количество базового актива по заранее фиксированной цене покупки.

Определение 3

Тот, кто продаёт или выписывает опцион, называется **продавцом** или **выписывающей стороной**. Чтобы приобрести опцион, его будущий владелец платит выписывающей стороне премию. Эта премия и называется **ценой опциона**.

Определение 4

Европейский опцион - опцион, который может быть исполнен только лишь в момент его окончания.

Рассмотрим Европейский опцион, построенный на акциях.

Пусть C обозначает стоимость опциона "колл", P - цену опциона "пут", X - цену исполнения опциона, $S(t)$ - цену акции, $t \in [0, T]$, где T - момент исполнения опциона.

Стоимость опциона в момент исполнения для опциона "колл" равна $C = \max(0, S(T) - X)$, а для опциона "пут" — $P = \max(0, X - S(T))$.

В теории опционов определяющим вопросом является цена опциона.

Какой должна быть "справедливая" цена опциона, которая бы устроила и продавца, и покупателя?

$$\frac{\partial U}{\partial t} + (r - d)S \frac{\partial U}{\partial S} + \frac{1}{2}S^2\sigma^2 \frac{\partial^2 U}{\partial S^2} - rU = 0 \quad (1)$$

с начальными и граничными условиями для опциона "колл"

$$\begin{aligned} U(t, S)|_{S=0} &= 0, \\ S_{t=0} &= S_0, \\ U(t, S)|_{t=T} &= \max(0, S - K), \\ \lim_{S \rightarrow +\infty} \frac{U(t, S)}{S} &= 1. \end{aligned} \quad (2)$$

K - цена исполнения опциона "колл", t - время, U - цена опциона "колл",
 r - процентная ставка, T - момент исполнения опциона, d - дивиденды,
 σ - волатильность .

$$U = S_0\Phi(d_1) - Ke^{-rt}\Phi(d_2). \quad (3)$$

Φ - Функция распределения $N(0,1)$,

$$\begin{aligned} d_1 &= \frac{\ln(S_0/K) + (r + \sigma^2/2)T}{\sigma\sqrt{T}}, \\ d_2 &= \frac{\ln(S_0/K) + (r - \sigma^2/2)T}{\sigma\sqrt{T}}. \end{aligned} \quad (4)$$

- Исследование численных методов решения дифференциального уравнения Блэка-Шоулса.
- Оценка Европейского опциона методом Монте-Карло.
- Исследование стохастической устойчивости метода Монте-Карло.

Явная разностная схема для решения дифференциального уравнения Блэка-Шоулса

Для того чтобы аппроксимировать дифференциальное уравнение Блэка-Шоулса, мы должны ввести область определения для цены акции и времени:

$$[0, +\infty) \times [0, T]$$

Разобьём их на равные промежутки и получим:

$$[0, \Delta s, 2\Delta s, \dots, +\infty) \times [0, \Delta t, 2\Delta t, \dots, T]$$

Конечно-разностная схема для нашего уравнения будет иметь вид:

$$\frac{U_{i,k} - U_{i-1,k}}{\Delta t} + \frac{1}{2}\sigma^2(k\Delta S)^2 \frac{U_{i,k+1} - 2U_{i,k} + U_{i,k-1}}{(\Delta S)^2} + rk\Delta S \frac{U_{i,k+1} - U_{i,k-1}}{2\Delta S} - rU_{i,k} = 0. \quad (5)$$

$$U_{i-1,k} = U_{i,k}a_1(k) + U_{i,k+1}a_2(k) + U_{i,k-1}a_3(k), \quad (6)$$

где:

$$\begin{aligned} a_1(k) &= \left[\frac{1}{\Delta t} - \sigma^2 k^2 - r \right] \Delta t, \\ a_2(k) &= \left[\frac{rk}{2} + \frac{1}{2}\sigma^2 k^2 \right] \Delta t, \\ a_3(k) &= \left[-\frac{rk}{2} + \frac{1}{2}\sigma^2 k^2 \right] \Delta t. \end{aligned} \quad (7)$$

Представим цену опциона в виде вектора: $U=(U_1, U_2, \dots, U_{(n+1)^2})$, где $n = \frac{T}{\Delta t}$.
 $U=AU+F$, где A - матрица размерности $(n+1)^2 \times (n+1)^2$, а F - вектор длины $(n+1)^2$:

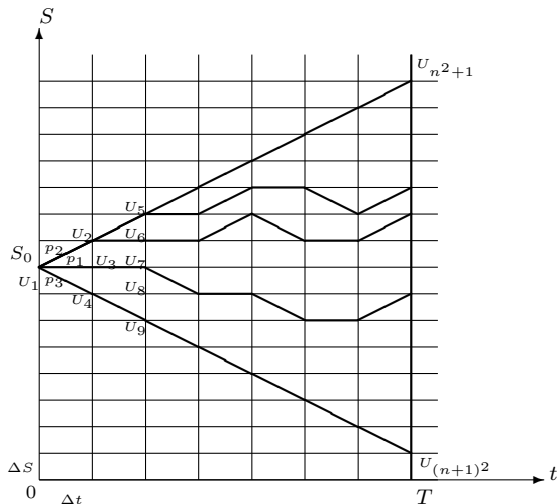


Рис.1: Блуждание по сетке(явная схема).

$$A = \begin{pmatrix} 0 & a_1 & a_2 & a_3 & 0 & 0 & \dots & \dots & \dots & \dots \\ 0 & 0 & 0 & 0 & a_1 & a_2 & a_3 & 0 & 0 & \dots \\ 0 & 0 & 0 & 0 & 0 & a_1 & a_2 & a_3 & 0 & \dots \\ 0 & 0 & 0 & 0 & 0 & 0 & a_1 & a_2 & a_3 & \dots \\ \dots & \dots & \dots & \dots & \dots & \dots & \dots & \dots & \dots & \dots \end{pmatrix},$$

$$F = (0, 0, \dots, 0, f_{n^2+1}, f_{n^2+2}, \dots, f_{(n+1)^2})^T,$$

где $f_g = f_{\{n,i\}} = \max(0, i \cdot \Delta S - K) \quad \forall g \in 1 : (n+1)^2$, причём $\{n, i\}$ - координаты узла на границе $t=T$, а K - цена исполнения опциона.

Далее вводим $p_i = \frac{|a_i|}{\sum_{i=1}^3 |a_i|}$.

$$\Phi(x_{i_0}, \dots, x_{i_n}) = \frac{a_{i_0, i_1} \dots a_{i_{n-1}, i_n} f_{i_n}}{p_{i_0, i_1} \dots p_{i_{n-1}, i_n}}. \quad (8)$$

Общая оценка по всем траекториям будет иметь следующий вид:

$$\hat{U} = \frac{1}{N} \sum_{j=1}^N \Phi_j. \quad (9)$$

Пусть у нас в момент времени $t = 0$ цена акции $S_0 = 1$, к тому же:
 $K = 1, \Delta t = 0.01, \Delta S = 0.01, T = 1, R = 10000$ (R - число траекторий).

Подставим эти данные в программу и посмотрим на результаты при разных σ и r .

Таблица 1.: Численные результаты. Явная схема.

		$\sigma = 3\%$	$\sigma = 5\%$	$\sigma = 10\%$
$r = 2\%$	теоретический результат	0.0242895	0.0312069	0.0501698
	практический результат	0.0232783	0.0291986	$-2.2883 \cdot 10^{23}$
	δ_{st}	0.0002365	0.0003522	$2.2038 \cdot 10^{23}$
$r = 4\%$	теоретический результат	0.0404571	0.0451008	0.0617846
	практический результат	0.0398021	0.0429361	$-4.5249 \cdot 10^{23}$
	δ_{st}	0.0002809	0.0004056	$5.2371 \cdot 10^{23}$

r - процентная ставка, σ - волатильность.

Достаточное условие для стохастической устойчивости метода Монте-Карло:

$$|a_1(k)| + |a_2(k)| + |a_3(k)| < 1. \quad (10)$$

$$r \leq 4\sigma^2 : \quad \Delta t(k) < \frac{1}{\sigma^2 k^2 + \frac{r}{2}(k+1)}. \quad (11)$$

Таблица 2.: Численные результаты. Явная схема. Переменный Δt .

		$\sigma=3\%$	$\sigma=5\%$	$\sigma=10\%$
r=2%	теоретический результат	0.0242895	0.03135367	0.0498049
	практический результат	0.0251483	0.0321605	0.0508240
	δ_{st}	0.0002377	0.0003625	0.0006816
r=4%	теоретический результат	0.0404571	0.0451008	0.0617846
	практический результат	0.0413197	0.0451541	0.0619201
	δ_{st}	0.0002563	0.0004196	0.0007449

r - процентная ставка, σ - волатильность.

$$\frac{U_{i,k} - U_{i-1,k}}{\Delta t} + \frac{1}{2}\sigma^2(k\Delta S)^2 \frac{U_{i-1,k+1} - 2U_{i-1,k} + U_{i-1,k-1}}{(\Delta S)^2} + rk\Delta S \frac{U_{i-1,k+1} - U_{i-1,k-1}}{2\Delta S} - rU_{i,k} = 0.$$

$$U_{i-1,k} = U_{i,k}a_1(k) + U_{i-1,k+1}a_2(k) + U_{i-1,k-1}a_3(k). \quad (12)$$

$$a_1(k) = \left[\frac{\frac{1}{\Delta t} - r}{\frac{1}{\Delta t} + \sigma^2 k^2} \right], a_2(k) = \left[\frac{\frac{1}{2}\sigma^2 k^2 + \frac{1}{2}rk}{\frac{1}{\Delta t} + \sigma^2 k^2} \right], a_3(k) = \left[\frac{\frac{1}{2}\sigma^2 k^2 - \frac{1}{2}rk}{\frac{1}{\Delta t} + \sigma^2 k^2} \right]. \quad (13)$$

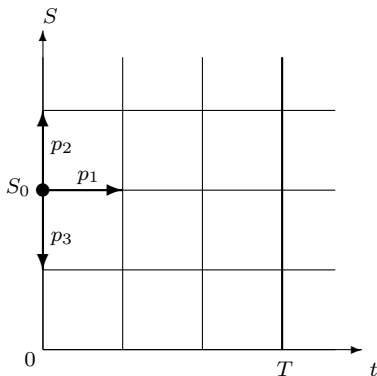


Рис.2: Блуждание по сетке(неявная схема).

Достаточное условие для стохастической устойчивости метода Монте-Карло:

$$|a_1(k)| + |a_2(k)| + |a_3(k)| < 1. \quad (14)$$

$$r \leq 4\sigma^2 : \quad \Delta t < \frac{2}{r + \frac{r^2}{4\sigma^2}}. \quad (15)$$

Таблица 3.: Численные результаты. Неявная схема.

		$\sigma=3\%$	$\sigma=5\%$	$\sigma=10\%$
r=2%	теоретический результат	0.0242895	0.0312069	0.0501698
	практический результат	0.0237388	0.0299539	0.04647097
	δ_{st}	0.0002421	0.0003601	0.0006617
r=4%	теоретический результат	0.0404571	0.0451008	0.0617846
	практический результат	0.0391955	0.0431182	0.0534931
	δ_{st}	0.0002781	0.0004119	0.0008215

r - процентная ставка, σ - волатильность.

Оценка Европейского опциона методом Монте-Карло(схема Кранка-Николсона)

$$\frac{U_{i,k} - U_{i-1,k}}{\Delta t} + \frac{1}{2}r(k\Delta s) \frac{U_{i,k+1} - U_{i,k-1}}{2\Delta S} + \frac{1}{2}r(k\Delta s) \frac{U_{i-1,k+1} - U_{i-1,k-1}}{2\Delta S} + \\ + \frac{1}{4}(k\Delta s)^2 \sigma^2 \frac{U_{i,k+1} - 2U_{i,k} + U_{i,k-1}}{(\Delta S)^2} + \frac{1}{4}(k\Delta s)^2 \sigma^2 \frac{U_{i-1,k+1} - 2U_{i-1,k} + U_{i-1,k-1}}{(\Delta S)^2} - rU_{i,k} = 0$$

$$U_{i-1,k} = a_1(k)U_{i,k} + a_2(k)U_{i,k+1} + a_3(k)U_{i,k-1} + a_4(k)U_{i-1,k+1} + a_5(k)U_{i-1,k-1}. \quad (16)$$

$$a_1(k) = \frac{\frac{1}{\Delta t} - \frac{1}{2}k^2\sigma^2 - r}{\frac{1}{\Delta t} + \frac{1}{2}k^2\sigma^2}, a_2(k) = a_4(k) = \frac{\frac{1}{4}k^2\sigma^2 + \frac{1}{4}rk}{\frac{1}{\Delta t} + \frac{1}{2}k^2\sigma^2}, a_3(k) = a_5(k) = \frac{\frac{1}{4}k^2\sigma^2 - \frac{1}{4}rk}{\frac{1}{\Delta t} + \frac{1}{2}k^2\sigma^2}. \quad (17)$$

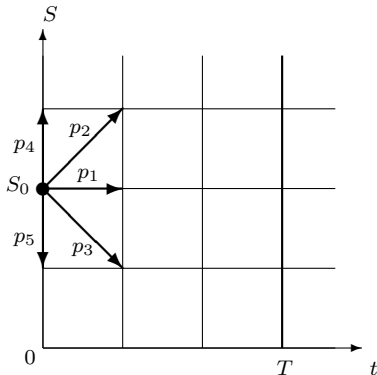


Рис.3: Блуждание по сетке(схема Кранка-Николсона).

Достаточное условие для стохастической устойчивости метода Монте-Карло:

$$|a_1(k)| + |a_2(k)| + |a_3(k)| + |a_4(k)| + |a_5(k)| < 1. \quad (18)$$

$$r \leq 4\sigma^2 : \quad \Delta t(k) < \frac{1}{\sigma^2 k^2 + rk}. \quad (19)$$

Таблица 4.: Численные результаты. Схема Кранка-Николсона.

		$\sigma=3\%$	$\sigma=5\%$	$\sigma=10\%$
r=2%	теоретический результат	0.0242895	0.0312069	0.0501698
	практический результат	0.0237028	0.0281521	0.0425748
	δ_{st}	0.0002436	0.0003475	0.0006305
r=4%	теоретический результат	0.0404571	0.0451008	0.0617846
	практический результат	0.0394061	0.0411697	0.0539332
	δ_{st}	0.0002811	0.0004069	0.0013204

r - процентная ставка, σ - волатильность.

- Исследованы конечно-разностные схемы для решения дифференциального уравнения Блэка-Шоулса.
- Разработаны алгоритмы и программы для реализации метода Монте-Карло с использованием различных разностных схем, в том числе разностных схем с переменным шагом по времени Δt .
- Найдены условия для стохастической устойчивости методов Монте-Карло.
- Показан абсолютный параллелизм всех рассматриваемых методов Монте-Карло.

$$\Phi(x_{i_0}, \dots, x_{i_n}) = \frac{a_{i_0, i_1} \dots a_{i_{n-1}, i_n} f_{i_n}}{p_{i_0, i_1} \dots p_{i_{n-1}, i_n}}$$

Описание алгоритма:

1. Инициализируем временную переменную $\beta=0$
2. Задаём начальные значения $t=0$, $S = S_0$, а также переменную $\alpha=1$
3. Моделируем случайное число (используем равномерное распределение на $[0,1]$)
4. С вероятностью p_1 переходим в узел с индексами i, k ; при этом:
 $\alpha = \alpha \cdot \text{sign}(a_1(k)) (\sum_{i=1}^3 |a_i(k)|)$
5. С вероятностью p_2 переходим в узел с индексами $i, k+1$; при этом:
 $\alpha = \alpha \cdot \text{sign}(a_2(k)) (\sum_{i=1}^3 |a_i(k)|)$
6. С вероятностью p_3 переходим в узел с индексами $i, k-1$; при этом:
 $\alpha = \alpha \cdot \text{sign}(a_3(k)) (\sum_{i=1}^3 |a_i(k)|)$
7. Если мы не достигли узла на границе, то переходим к п.3 (т.е. заново моделируем случайное число)
8. Если достигли узла границы, то
 $\alpha = \alpha \cdot f(\Delta s \cdot i, \Delta t \cdot k)$
и $\beta = \beta + \alpha$
9. Повторяем процесс n раз
10. В итоге, получим нашу оценку в виде $\frac{1}{n}\beta$

Рассмотрим Марковскую цепь:

$$p^0, P = \|p_{i,k}\|, \sum_{k=1}^n p_{i,k} = 1.$$

$$i_0 \rightarrow i_1 \rightarrow i_2 \dots \rightarrow i_\tau, \quad p_{i_0}^0 p_{i_0, i_1} p_{i_1, i_2} \dots p_{i_{\tau-1}, i_\tau}$$

$$\sum_{\tau=0}^{\infty} \sum_{i_0=1}^n \dots \sum_{i_\tau=1}^n p_{i_0}^0 p_{i_0, i_1} p_{i_1, i_2} \dots p_{i_{\tau-1}, i_\tau} = 1 \quad (20)$$

(Ермаков С.М., 1975г.)

$$E\Phi = \sum_{\tau=0}^{\infty} \sum_{i_0=1}^n \dots \sum_{i_\tau=1}^n \Phi = \Phi(x_{i_0}, x_{i_1}, \dots, x_{i_\tau}) p_{i_0}^0 p_{i_0, i_1} p_{i_1, i_2} \dots p_{i_{\tau-1}, i_\tau} \quad (21)$$

$$X = AX + F, \quad A = \|a_{ij}\|_{i,j=1}^n, X = (x_1, \dots, x_n)^T, F = (f_1, \dots, f_n)^T$$

$$X_m = AX_{m-1} + F, X_0 = F, m = 1, 2, \dots$$

$$\tilde{X} = \sum_{k=0}^{\infty} A^k F \quad (22)$$

(H, \tilde{X}) , где $H = (h_1, \dots, h_n)$ произвольный вектор.

$$(H, \tilde{X}) = \sum_{k=0}^{\infty} \sum_{i_1=1}^n \dots \sum_{i_k=1}^n h_{i_0} a_{i_0, i_1} a_{i_1, i_2} \dots a_{i_{k-1}, i_k} f_{i_k} \quad (23)$$

$$\Phi(x_{i_0}, x_{i_1}, \dots, x_{i_\tau}) = \sum_{l=0}^{\tau} \frac{h_{i_0} a_{i_0, i_1} a_{i_1, i_2} \dots a_{i_{l-1}, i_l} f_{i_l}}{p_{i_0}^0 p_{i_0, i_1} p_{i_1, i_2} \dots p_{i_{l-1}, i_l}} \quad (24)$$

Определение 5

Модель Блэка - Шоулса - модель фондового рынка со следующими предположениями:

- 1) отсутствуют арбитражные возможности;
- 2) торговля акциями непрерывна;
- 3) отсутствуют налоги;
- 4) все ценные бумаги можно делить (например, возможно купить любую часть акции);
- 5) возможно заимствовать и предоставить наличные деньги по постоянной надежной процентной ставке.

Рассмотрим уравнение теплопроводности:

$$\frac{\partial u}{\partial t} = a^2 \frac{\partial^2 u}{\partial x^2}, \quad u = u(x, t). \quad (25)$$

Область: $0 \leq t \leq T$, $0 \leq x \leq 1$. Шаг: $h = \frac{1}{M}$, $\Delta t = \frac{T}{L}$.

Явная схема:

$$\frac{u_{k,l+1} - u_{k,l}}{\Delta t} = a^2 \frac{u_{k+1,l} - 2u_{k,l} + u_{k-1,l}}{h^2} \quad (26)$$

$$u_{k,l+1} = \left(1 - \frac{1}{\mu^2}\right)u_{k,l} + \left(\frac{1}{2\mu^2}\right)u_{k+1,l} - \left(\frac{1}{2\mu^2}\right)u_{k-1,l}, \quad \mu^2 = \frac{h^2}{2\Delta t a^2}. \quad (27)$$

Неявная схема:

$$\frac{u_{k,l+1} - u_{k,l}}{\Delta t} = a^2 \frac{u_{k+1,l+1} - 2u_{k,l+1} + u_{k-1,l+1}}{h^2} \quad (28)$$

$$u_{k,l} = -\frac{1}{2\mu^2}u_{k+1,l+1} + \frac{(2+2\mu^2)}{2\mu^2}u_{k,l+1} - \left(\frac{1}{2\mu^2}\right)u_{k-1,l+1}, \quad \mu^2 = \frac{h^2}{2\Delta t a^2}. \quad (29)$$

$$\sum_i |a_i| < 1.$$

$$k > \frac{r}{\sigma^2}.$$

Явная схема:

$$\Delta t(k) < \frac{2}{2\sigma^2 k^2 + r}.$$

Неявная схема:

$$\Delta t(k) < \frac{2}{r}.$$

Схема Кранка-Николсона:

$$\Delta t(k) < \frac{1}{\sigma^2 k^2 + rk}.$$

1. Взять ΔS таким, чтобы в начале нашего движения номер слоя k (по шкале S) допустил не менее чем в 2 раза (вообще можно выбрать любое число большее 1) превосходил $\lceil \frac{r}{\sigma^2} \rceil + 1$, т.е. берём, например, $k = 2 \cdot (\lceil \frac{r}{\sigma^2} \rceil + 1)$.

2. Делаем специальный счётчик, который показывает сколько раз во время движения по каждой из траекторий мы побывали ниже слоя $\lceil \frac{r}{\sigma^2} \rceil + 1$, если значения этого счётчика отличаются от нуля, то применяем алгоритм для оценки цены опциона заново, только берём уже $k = 4 \cdot (\lceil \frac{r}{\sigma^2} \rceil + 1)$, т.е. в 2 раза увеличиваем номер слоя с которого мы начинаем движение, если же счётчик нулевой, то мы получаем оценку цены опциона у которой дисперсия гарантированно будет стохастический устойчивой.

3. Увеличивая номер начального слоя, как показано в п.2, мы рано или поздно получим счётчик с нулевыми значениями. Это обусловлено тем, что вероятность (движения вниз по сетке) $p_3 < p_2$, т.е. $p_3 < \frac{1}{2}$. А это значит, что вероятность попасть в зону, где $k < \lceil \frac{r}{\sigma^2} \rceil + 1$, будет уменьшаться в разы с увеличением номера слоя с которого мы начинаем движение по сетке.